

Министерство транспортного строительства

**ГОСУДАРСТВЕННЫЙ ВСЕСОЮЗНЫЙ ДОРОЖНЫЙ
НАУЧНО-ИССЛЕДОВАТЕЛЬСКИЙ ИНСТИТУТ
(СОЮЗДОРНИИ)**

МЕТОДИЧЕСКИЕ РЕКОМЕНДАЦИИ

**ПО ПРОЕКТИРОВАНИЮ СОПРЯЖЕНИЙ
УЧАСТКОВ АВТОМОБИЛЬНЫХ ДОРОГ
С РАЗНОЙ ВЕЛИЧИНОЙ ПУЧЕНИЯ
С ПОМОЩЬЮ КЛИНОВИДНОЙ КОНСТРУКЦИИ
ТЕПЛОИЗОЛЯЦИИ**

Одобрены Минтрансстроем

Москва 1980

УДК 625.731.9.001.5

МЕТОДИЧЕСКИЕ РЕКОМЕНДАЦИИ ПО ПРОЕКТИРОВАНИЮ СОПРЯЖЕНИЙ УЧАСТКОВ АВТОМОБИЛЬНЫХ ДОРОГ С РАЗНОЙ ВЕЛИЧИНОЙ ПУЧЕНИЯ С ПОМОЩЬЮ КЛИНОВИДНОЙ КОНСТРУКЦИИ ТЕПЛОИЗОЛЯЦИИ. Союздорнии. М., 1980.

Изложены вопросы сопряжения смежных участков автомобильных дорог с разной величиной пучения. Приведены требования к сопряжениям и рекомендуемые конструкции их из разных теплоизоляционных и морозозащитных (стабильных) материалов. На конкретных примерах показаны метод и процесс проектирования сопряжений применительно к основным случаям зимнего поднятия покрытия на смежных участках.

Табл.1, рис.5, библ.3.

© Союздорнии, 1980г.

Предисловие

"Методические рекомендации по проектированию сопряжений участков автомобильных дорог с разной величиной пучения с помощью клиновидной конструкции теплоизоляции", при разработке которых учтен зарубежный опыт, использованы результаты теоретических и экспериментальных исследований вопросов теплоизоляции и морозозащиты дорожной конструкции, завершают цикл публикаций, посвященных обеспечению необходимой морозоустойчивости дорожной конструкции в сложных климатических и грунтово-гидрологических условиях.

В настоящих "Методических рекомендациях" рассмотрены вопросы морозоустойчивости дорожной конструкции в местах сопряжения участков с разной высотой зимнего поднятия покрытия и обеспечения здесь требуемой ровности проезжей части. Достигается это путем устройства переходной конструкции клиновидной формы из теплоизоляционного или традиционного морозозащитного материала.

Воздействуя на процессы промерзания грунта земляного полотна и влагонакопления в нем, эта конструкция ограничивает возможное зимнее пучение до допустимых пределов.

В "Методических рекомендациях" изложены требования к сопряжениям и приведены основные типы рекомендуемых конструкций. Приведены примеры проектирования клиновидных конструкций сопряжений.

Настоящие "Методические рекомендации" разработали докт. техн. наук М.Б.Корсунский (раздел 5, общее руководство и редактирование) и канд. техн. наук П.Д.Россовский (разделы 1-4).

Замечания и пожелания просьба направлять по адресу: 143900, Балашиха-6 Московской обл., Союздорний или 191065, Ленинград, ул.Герцена,19, Ленинградский филиал Союздорний.

I Общие положения

1.1. В настоящих "Методических рекомендациях" изложены принципы проектирования переходных конструкций для сопряжения смежных участков автомобильных дорог, на которых возможно неодинаковое зимнее поднятие покрытия, а следовательно, разные величины деформаций, нарушающих ровность проезжей части дороги (рис.1).

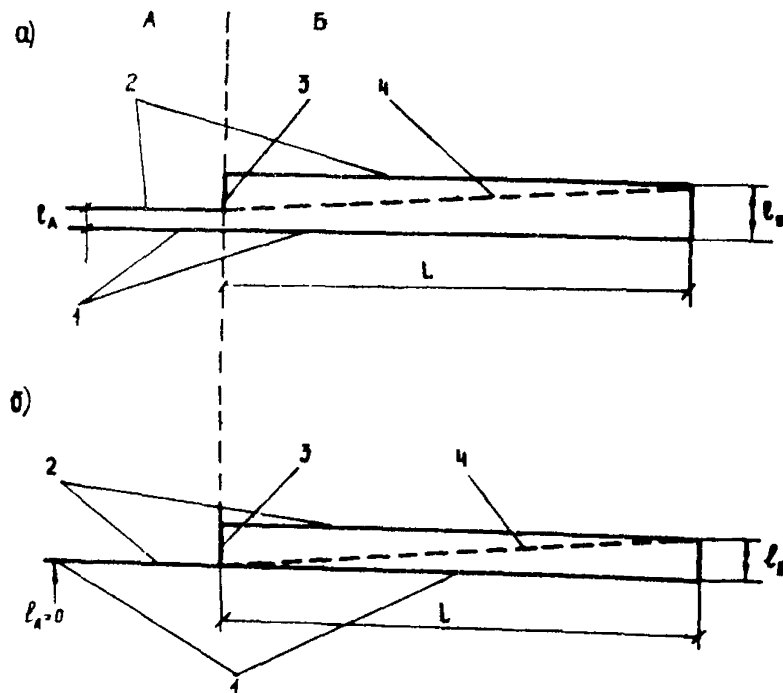


Рис.1. Основные виды зимнего поднятия покрытия на границе смежных участков А и Б, склонных к пучению (а) и на границе непучинистого участка А с пучинистым участком Б (б); 1-положение покрытия перед промерзанием конструкции; 2-ожидаемое положение покрытия после зимнего вспучивания при отсутствии переходной конструкции; 3-разница в величине пучения; 4-уклон покрытия на сопряжении после устройства клиновидной конструкции; L -длина переходного клина

1.2. Конструкция теплоизолирующего или морозозащитного слоя должна иметь клиновидную форму и обеспечивать как величину зимнего поднятия покрытия на концах сопрягаемых участков, необходимую для сохранения ровности проезжей части, так и гребуемый продольный уклон.

1.3. В случае, если один участок пучинистый, а другой непучинистый, то клиновидную переходную конструкцию устраивают на пучинистом участке, а если оба участка пучинистые, то на том, где ожидается большее поднятие покрытия.

1.4. Применительно к различным вариантам спряжения смежных участков с разной видой пучения разработан метод теплотехнического расчета размеров клиновидной конструкции

1.5. Клиновидную переходную конструкцию в местах сопряжения смежных участков проектируют одновременно с теплоизолирующим или морозозащитным слоем на основном протяжении дороги, так как принципы теплотехнического расчета в обоих случаях одинаковы. При проектировании конструкции следует руководствоваться указаниями настоящих "Методических рекомендаций", а также "Методических рекомендаций" /1,2/.

2. Требования к сопряжениям

2.1. Для обеспечения требуемых эксплуатационных качеств дороги переход от одного смежного участка к другому должен быть как можно более плавным, а неравномерное поднятие покрытия не должно превышать допустимой величины.

2.2. Для удовлетворения требований п.2.1 необходимо, чтобы разница зимнего поднятия покрытия на сопрягаемых участках ℓ_A и ℓ_B не превышала допустимых значений пучения конструкции $\ell_{\text{ доп}}$, см /3/, т.е. $\ell_B - \ell_A \leq \ell_{\text{ доп}}$, а неравномерность пучения $\ell_{\text{ доп}}$,

т.е. отношение разницы поднятия $\ell_{\text{гон}}$ к протяжению переходного участка сопряжения L , не превосходила величин, указанных в таблице.

Материал покрытия	Допустимое значение пучения $\ell_{\text{гон}}, \text{см}$	Допустимый уклон поверхности покрытия на переходном участке $i_{\text{гон}}, \%$, на дорогах категорий		
		I	II	III
Цементобетон	2	1	1	1-2
Горячий асфальтобетон I-II марок	4	1	1-2	3
То же, III-IV марок	6	-	3	4-5

Примечание. Неравномерность пучения 1 мм/м соответствует уклона поверхности покрытия 1%.

2.3. Длину теплоизолирующего клина L , м, для обеспечения требуемого уклона поверхности покрытия на переходном участке следует определять по формуле

$$L = 10 \frac{\ell_{\text{гон}}}{i_{\text{гон}}}, \quad (1)$$

где 10 – переводной коэффициент.

Величина $i_{\text{гон}}$ приведена в таблице.

2.4. Ширина клиновидной конструкции сопряжения должна быть равной ширине устраиваемого на дороге теплоизолирующего или морозозащитного слоя, т.е. конструкция может частично располагаться и под обочиной.

3. Материалы для устройства сопряжений

3.1. Клиновидную конструкцию сопряжения смежных участков можно устраивать из тех же материалов, что и морозозащитный слой на основном протяжении дороги: из теплоизоляционных, обладающих малой теплопроводностью материалами (пеноизвестняк, керамзит, легкие бетоны и др.), и морозозащитных, не изменяющих своего объема при промерзании (гравий, песок, щебень, шлаки

и др.). Требования к качеству материалов для устройства переходных конструкций и для слоев на основном протяжении дороги одинаковы /1,2/.

3.2. При использовании теплоизоляционного материала в форме плиты (пенопласт, горфоплиг и др.) необходим достаточный запас тонких плит ($\approx 1-2$ см), позволяющих постепенно изменять толщину теплоизолирующего слоя по длине клиновидной конструкции.

4. Конструкции сопряжений

4.1. В случае сопряжения смежных участков, один из которых имеет теплоизолирующую структуру из пенопласта достаточными для полного предотвращения промерзания пучения земляного полотна, а на другом — не имеющем такого слоя, ожидается некоторое пучение. Переходную конструкцию можно устраивать из пенопласта.

Плиты пенопласта укладываются в несколько слоев с перекрытием швов нижележащих плит верхними плитами. В поперечном профиле дороги плиты выпускают за край проезжей части под обочину на 1,2 м с уменьшением на половину толщины теплоизолирующего слоя на расстоянии 0,6 м от края проезжей части. В продольном направлении дороги общее протяжение переходного участка, на котором число плиг пенопласта постепенно уменьшается, составляет не менее 15 м.

4.2. В случае сопряжения смежных участков, на одном из которых предусмотрены морги по полному предотвращению пучения (участок А), а на другом (участок Б) ожидается пучение, возможно также применение переходной клиновидной конструкции, устраиваемой из традиционного морозо защитного материала (рис. 2).

Клиновидную конструкцию рассчитывают так, что бы на одном конце ее (конец участка А) промерзание земляного полотна было полностью предотвращено, а на другом конце, на расстоянии L , м, на участке Б промерз-

зание было ограничено, и ожидаемое поднятие покрытия не превышало допустимой величины. Длину переходной конструкции L назначают таким образом, чтобы продолжительный уклон всученной поверхности покрытия на сопряжении не превысил допустимой величины (см.таблицу).

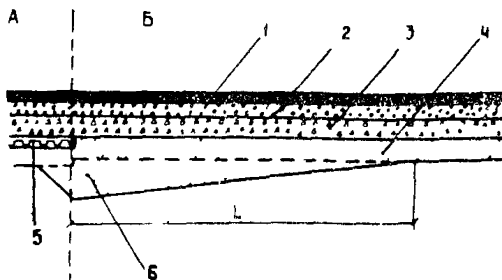


Рис.2. Сопряжение участков ($\ell_A=0$; $\ell_B=\overline{m}$) с помощью клиновидной конструкции из морозозащитного материала: 1-асфальтобетон I марки; 2-то же, III-1У марок; 3-шебень; 4-песок; 5-пеноизол; 6-клиновидная конструкция

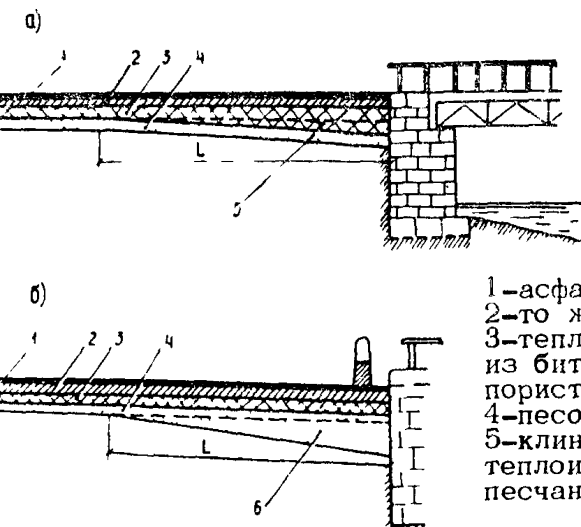


Рис.3. Клиновидная конструкция на подходе к мосту из материалов теплоизоляционного (а) и морозозащитного (б):

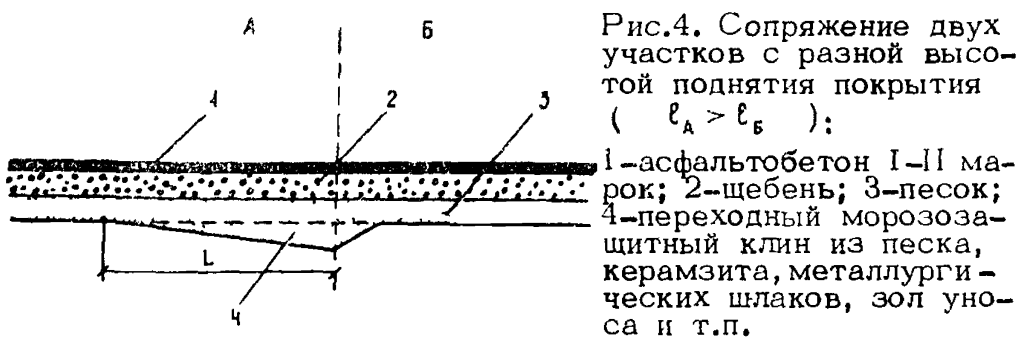
1-асфальтобетон I марки;
2-то же, III-1У марок;
3-теплоизолирующий слой из битумоцементогрунта с пористым заполнителем;
4-песок средней крупности;
5-клиновидное утолщение теплоизоляции;
6-то же, песчаного слоя

4.3. В случае сопряжения с мостом подъездного участка дороги, на котором запроектирована теплоизоляция из битумоцементогрунта с пористым заполнителем (толщину теплоизоляции рассчитывают так, чтобы пучение не превышало $\ell_{\text{ доп}}$), возможны два варианта переходной клиновидной конструкции.

Первый вариант (рис.3,а). На подходе к мосту на протяжении L толщину теплоизолирующего слоя постепенно увеличивают, чтобы в месте примыкания дорожной конструкции к проезжей части моста промерзание ее, а следовательно, и пучение, было полностью предотвращено.

Второй вариант (рис.3,б). Специальный теплоизолирующий слой ограничивает промерзание земляного полотна, в результате чего толщина устраиваемой здесь клиновидной конструкции из традиционного морозозащитного материала значительно меньше, чем на аналогичных участках без теплоизоляции.

4.4. В случае сопряжения двух участков А и Б, на которых ожидается разное пучение, обусловленное особенностями подстилающего грунта (на участке А грунт пучинистый, поэтому величина зимнего поднятия покрытия здесь больше, чем на участке Б), переходную клиновидную конструкцию устраивают на участке А из песка (можно использовать керамзит, металлургические шлаки золы уноса и др.), в результате чего на протяжении L переходного сопряжения высота поднятия покрытия снижается постепенно до высоты поднятия покрытия участка Б, что обеспечит плавный переход от одного участка к другому (рис.4).



5. Проектирование сопряжений (примеры)

Рассмотрим примеры расчета клиновидной конструкции сопряжения смежных участков с использованием теплоизолирующих либо морозозащитных материалов.

Пример 1. Требуется разработать переходную конструкцию между двумя участками автомобильной дороги с теплоизолирующими слоями из цементогрунта с керамзитом.

Дорога II категории находится во II дорожно-климатической зоне 3-й тип местности по условиям увлажнения согласно СНиП II-Д. 5-72 "Автомобильные дороги. Нормы проектирования", расчетная глубина залегания грунтовых вод - 160 см от поверхности покрытия.

Конструкции дорожной одежды на участках А и Б представлены на рис.5.

Грунт земляного полотна на участке А - легкий пылеватый суглинок ($W_t = 0,3$; $W_p = 0,15$).

Расчет по "Методическим рекомендациям" /1/ показал, что глубина промерзания земляного полотна χ на этом участке в самый неблагоприятный год за период между капитальными ремонтами не превысит 37 см от нижней поверхности теплоизолирующего слоя, а высота зимнего поднятия покрытия ℓ_A составит 4 см.

Грунт земляного полотна на участке Б - супесь пылеватая ($W_t = 0,25$; $W_p = 0,18$). Расчетом по "Методическим рекомендациям" /1/ установлено, что на этом участке $\chi = 26$ см, а $\ell_B = 2$ см.

Поскольку на участке А ожидается большее пучение, чем на участке Б, то на нем и устраивают переходную конструкцию, чтобы в месте стыковки участков А и Б уменьшить пучение до 2 см.

Необходимо установить толщину слоя цементогрунта с керамзитом $h_{A,B}$ в этом месте переходной конструкции и длину L .

Величину $h_{A,B}$ рассчитывают, руководствуясь "Ме-

тодическими рекомендациями" /1,2/, в следующем порядке:

1. Определяют коэффициенты теплоусвоения материалов слоев трехслойной модели, к которой приводят дорожную конструкцию участка А.

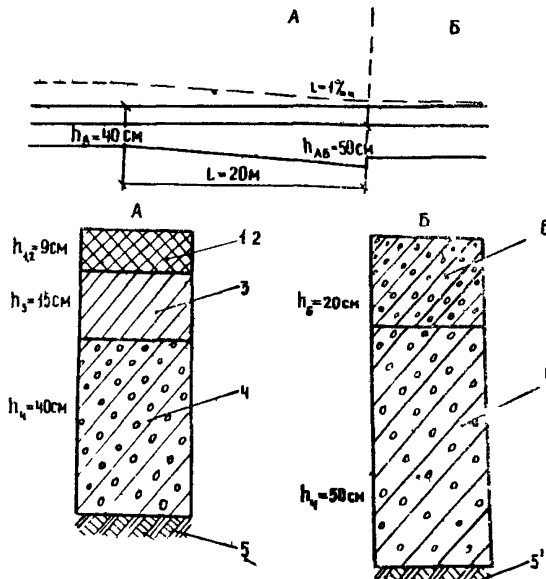


Рис.5. Схема переходной конструкции между смежными участками А и Б с разной высотой пучения и конструкцией дорожной одежды на этих участках; 1-2-покрытие - двухслойный горячий асфальтобетон I марки; 3-верхний слой основания - асфальтобетон III марки; 4-нижний слой основания - цементогрунт с керамзитом; 5-земляное полотно - легкий пылеватый суглинок; 5'-земляное полотно - супесь непылеватая; 6-покрытие - цементобетон; -----зимнее поднятие покрытия на основном протяжении участков; -----то же, на сопряжении

По данным /1-3/ принимают те же расчетные значения теплофизических характеристик материалов слоев и грунтов дорожной конструкции, что и при основном теплотехническом расчете конструкции участка А:

а) для верхнего и нижнего слоев асфальтобетона I марки коэффициент теплопроводности $\lambda_{1,2} = 1,04 \text{ Вт}/(\text{м}\cdot\text{К})$; удельная теплоемкость $C_{1,2} = 1,68 \cdot 10^3 \text{ Дж}/(\text{кг}\cdot\text{К})$; плотность $\gamma_{1,2} = 2350 \text{ кг}/\text{м}^3$;

б) для асфальтобетона III марки: $\lambda_3 = 0,99 \text{ Вт}/(\text{м}\cdot\text{К})$; $C_3 = 1,68 \cdot 10^3 \text{ Дж}/(\text{кг}\cdot\text{К})$; $\gamma_3 = 2300 \text{ кг}/\text{м}^3$;

в) для цементогрунта с керамзитом $\lambda_4 = 0,58 \text{ Вт}/(\text{м}\cdot\text{К})$; $C_4 = 0,92 \cdot 10^3 \text{ Дж}/(\text{кг}\cdot\text{К})$; $\gamma_4 = 1500 \text{ кг}/\text{м}^3$;

г) для мерзлого грунта земляного полотна - легкого пылеватого суглинка $\lambda_5 = 1,97 \text{ Вт}/(\text{м}\cdot\text{К})$; $C_5 = 1,13 \cdot 10^3 \text{ Дж}/(\text{кг}\cdot\text{К})$; $\gamma_5 = 2000 \text{ кг}/\text{м}^3$.

Многослойную конструкцию приводят к эквивалентной ей по теплофизическим свойствам трехслойной модели, заменяя слои, лежащие над изоляцией, одним слоем толщиной $h = h_{1,2} + h_3$.

Эквивалентный коэффициент теплопроводности верхнего слоя по формуле (9) работы /1/

$$\lambda_{1,3} = \frac{h_{1,2} + h_3}{\frac{h_{1,2}}{\lambda_{1,2}} + \frac{h_3}{\lambda_3}} = \frac{0,09 + 0,15}{\frac{0,09}{0,9} + \frac{0,15}{0,85}} = 1,01 \text{ Вт}/(\text{м}\cdot\text{К}) .$$

Эквивалентные удельная теплоемкость и плотность по формулам (10)-(11) "Методических рекомендаций" /1/ соответственно

$$C_{1,3} = \frac{h_{1,2} C_{1,2} + h_3 C_3}{h_{1,2} + h_3} = 1,68 \cdot 10^3 \text{ Дж}/(\text{кг}\cdot\text{К});$$

$$\gamma_{1,3} = \frac{h_{1,2} \gamma_{1,2} + h_3 \gamma_3}{h_{1,2} + h_3} = \frac{0,09 \cdot 2350 + 0,15 \cdot 2300}{0,24} = 2320 \text{ кг}/\text{м}^3.$$

Значения коэффициентов т е п л о у с в о е н и я $S = \sqrt{\lambda c \omega}$, Вт/(м².К)^x, для материалов трехслойной модели оказались следующими:

$$S_1 = \sqrt{1,01 \cdot 1,68 \cdot 10^3 \cdot 2320} = 1970 \text{ Вт}/(\text{м}^2 \cdot \text{К});$$

$$S_2 = \sqrt{0,58 \cdot 0,92 \cdot 10^3 \cdot 1500} = 895 \text{ Вт}/(\text{м}^2 \cdot \text{К});$$

$$S_3 = \sqrt{1,97 \cdot 1,13 \cdot 10^3 \cdot 2000} = 2110 \text{ Вт}/(\text{м}^2 \cdot \text{К}).$$

2. Устанавливают закономерность годового изменения температуры поверхности покрытия.

По приложению 4 "Методических рекомендаций" /1/ принимают следующие значения среднегодовой температуры воздуха $t_{\text{бм}}$, амплитуды годовых колебаний температуры $A_{\text{бм}}$ и их среднеквадратичных отклонений δ_t, δ_A : $t_{\text{бм}} = 3,7^\circ\text{C}$, $\delta_t = 0,9^\circ\text{C}$, $A_{\text{бм}} = 12,8^\circ\text{C}$, $\delta_A = 2,1^\circ\text{C}$.

При этих статистических характеристиках температуры воздуха по формулам (1) и (2) указанного приложения "Методических рекомендаций" /1/ определяют надежностью 0,95 (капитальный тип покрытия), что среднегодовая температура воздуха в расчетном году $t_{\text{бср}} = t_{\text{бм}} - \delta_t \theta = 3,7 - 0,9 \cdot 1,64 = 2,2^\circ\text{C}$, а амплитуда колебания температуры воздуха $A_g = A_{\text{бм}} + \delta_A \theta = 12,8 + 2,1 \cdot 1,64 = 16,2^\circ\text{C}$.

В этом случае среднемесячная температура воздуха самого холодного месяца

$$t_{\text{бmin}} = t_{\text{бср}} - A_g = 2,2 - 16,2 = -14^\circ\text{C},$$

а самого теплого

$$t_{\text{бmax}} = t_{\text{бср}} + A_g = 2,2 + 16,2 = 18,4^\circ\text{C}.$$

^{x)} В дальнейшем под корнем опущен постоянный множитель ω -частота годовых колебаний температуры, 1/с, так как в расчетах используются лишь отношения S_1/S_2 и S_1/S_3 .

Далее по приведенным ниже формулам находим, что среднемесячная температура поверхности асфальтобетонного покрытия в самом холодном и самом теплом месяце соответственно

$$t_{n,\min} = \frac{4(\pi - 1)}{3\pi} t_{b,\min} = \frac{4 \cdot (3,14 - 1)}{3 \cdot 3,14} \cdot (-14) = -12,7^{\circ}\text{C};$$

$$t_{n,\max} = \frac{4(\pi + 1)}{3\pi} t_{b,\max} = \frac{4 \cdot (3,14 + 1)}{3 \cdot 3,14} \cdot 18,4 = 32,5^{\circ}\text{C}.$$

Отсюда среднегодовая температура поверхности покрытия в расчетном году и амплитуда годовых колебаний температуры соответственно

$$t_{n,sp} = \frac{t_{n,\max} + t_{n,\min}}{2} = \frac{32,5 - 12,7}{2} = 9,9^{\circ}\text{C};$$

$$A_n = \frac{t_{n,\max} - t_{n,\min}}{2} = \frac{32,5 + 12,7}{2} = 22,6^{\circ}\text{C}.$$

3. По формуле (7) "Методических рекомендаций" /1/ определяют допустимую глубину промерзания земляного полотна от нижней поверхности теплоизолирующего слоя

$$z_{\text{гон}} = \frac{\ell_{\text{гон}}}{K_{\text{пуч}}} = \frac{2}{0,109} \approx 18,4 \text{ см.}$$

Как указано выше, величина пучения $\ell_{\text{пуч}}$ не должна превышать 2 см.

Коэффициент пучения $K_{\text{пуч}}$ данного грунта согласно формуле (8) "Методических рекомендаций" /1/

$$K_{\text{пуч}} = \frac{1,86 \cdot B}{\alpha_0} = \frac{1,86 \cdot 5}{85} = 0,109,$$

где $B = 5 \text{ см}^2/\text{сут}$; $\alpha_0 = 85 \text{ см}^2/\text{сут}$ согласно "Инструкции по проектированию дорожных одежд нежесткого типа" ВСН 46-72 (М. "Транспорт", 1972).

4. По формуле (6) "Методических рекомендаций" /1/ вычисляют допускаемое значение произведения среднеизвешенной температуры поверхности земляного полотна t и продолжительности промерзания его T

$$[tT] = \frac{\pi^2 \rho (W_t - W_n) \chi_M}{2 \lambda} = \frac{(0,184)^2 \cdot 3,35 \cdot 10^5 (0,3-0,11) \cdot 2}{2 \cdot 1,97} = \\ = 10,9 \cdot 10^5 \text{ с} \cdot {}^\circ\text{C} = 301 \text{ ч} \cdot {}^\circ\text{C}.$$

Численные значения параметров этой формулы взяты из приложения 5 "Методических рекомендаций" /1/.

5. Устанавливают допускаемую амплитуду колебаний температуры поверхности земляного полотна (низа теплоизоляции)

$$[A(h+\delta)] = t_{n,cr} + [t_i + t_{sum}].$$

Для этого по графику рис.8 "Методических рекомендаций" /1/ при $\frac{tT}{t_{n,cr}} = \frac{301}{9,9} = 30,4$ ч находят значение $\frac{t_1}{t_{n,cr}} = 0,035$, откуда $t_1 = 9,9 \cdot 0,035 = 0,3 {}^\circ\text{C}$, а $[t_i - t_{sum}] = 0,3 + 0,6 = 0,9 {}^\circ\text{C}$. Таким образом, $[A(h+\delta)] = 9,9 + 0,9 = 10,8 {}^\circ\text{C}$.

6. С помощью номограмм приложения 6 "Методических рекомендаций" /1/ определяют толщину теплоизолирующего слоя $h_{A,6}$ (см.рис.5).

Чтобы воспользоваться указанными номограммами, предварительно вычисляют следующие вспомогательные параметры и соотношения:

$$\frac{[A(h+\delta)]}{\lambda_n} = \frac{10,8}{22,6} = 0,48; \quad \frac{s_1}{s_2} = 2,2; \quad \frac{s_1}{s_3} = 0,94;$$

коэффициенты температуропроводности:

$$a_{1,3} = \frac{\lambda_{1,3}}{C_{1,3} \cdot \gamma_{1,3}} = \frac{1,01}{1,68 \cdot 10^3 \cdot 2320} = 0,26 \cdot 10^{-6} \text{ м}^2/\text{с};$$

$$a_2 = \frac{\lambda_2}{C_2 \cdot \gamma_2} = \frac{0,58}{0,92 \cdot 10^3 \cdot 1500} = 0,42 \cdot 10^{-6} \text{ м}^2/\text{с},$$

комплекс $h \sqrt{\frac{\omega}{2a_{1,3}}} = 0,24 \sqrt{\frac{2 \cdot 10^{-7}}{2 \cdot 0,26 \cdot 10^{-6}}} = 0,15 \text{ м},$

где ω – частота годовых колебаний температуры; $\omega = 7,2 \cdot 10^{-4} \text{ 1/ч}$ или $2 \cdot 10^{-7} \text{ 1/с}.$

По nomogramme приложения 6 "Методических рекомендаций" /1/ при $S_1/S_3 = 1$ и $h \sqrt{\frac{\omega}{2a_{1,3}}} = 0,15$ находят, что $\delta \sqrt{\frac{\omega}{2a_2}} = 0,31$, а при $S_1/S_3 = 0,9$ $\delta \sqrt{\frac{\omega}{2a_2}} = 0,29.$

Следовательно, для $S_1/S_3 = 0,94$ $\delta \sqrt{\frac{\omega}{2a_2}} = 0,3,$

Отсюда $\delta = 0,3 \sqrt{\frac{2 \cdot 0,42 \cdot 10^{-6}}{2 \cdot 10^{-7}}} = 0,61 \text{ м.}$

С учетом влияния теплового потока от грунта в южных водах толщина теплоизолирующего слоя в месте примыкания к участку Б должна быть равна $h_{A,B} = 0,8 \cdot \delta = 0,8 \cdot 0,61 \approx 50 \text{ см.}$

Длину переходной клиновидной конструкции находят по формуле (1) настоящих "Методических рекомендаций"

$$L = \frac{10 \cdot l_{\text{гон}}}{i_{\text{гон}}} = \frac{10 \cdot 2}{1} = 20 \text{ м.}$$

Значения $i_{\text{гон}}$ приведены в таблице настоящих "Методических рекомендаций".

Пример 2. Требуется запроектировать примыкание к мосту участка дороги с теплоизолирующим слоем из пенопласта.

Дорога II категории находится во II дорожно-климатической зоне, 3-й тип местности по условиям увлажнения

ния; расчетная глубина залегания грунтовых вод – 170 см от поверхности покрытия.

На участке дороги запроектирована следующая конструкция дорожной одежды: двухслойное асфальтобетонное покрытие общей толщиной 9 см; слой основания: верхний – асфальтобетонная смесь III марки – 10 см; нижний – щебень известняковый – 15 см; слой песка средней крупности – 10 см; теплоизолирующий слой толщиной 4 см из пенопласта ПС-4.

Грунт земляного полотна – супесь тяжелая пылеватая ($w_t = 0,29$, $w_p = 0,24$).

Расчет по "Методическим рекомендациям" /1/ показал, что глубина промерзания земляного полотна Z в самый неблагоприятный год за период между капитальными ремонтами составит 43 см от нижней поверхности теплоизолирующего слоя, а ожидаемое зимнее поднятие покрытия достигнет примерно 4 см.

Необходимо установить толщину изоляции h_m в месте примыкания участка дороги к мосту и длину переходной клиновидной теплоизолирующей конструкции.

Толщину изоляции h_m находят из условия предотвратить пучение в месте примыкания участка к мосту.

Порядок теплотехнического расчета тот же, что и в первом примере.

1. Определяют коэффициенты теплоусвоения материалов слоев применительно к трехслойной модели, к которой приводят многослойную дорожную конструкцию участка.

По табл.5 "Методических рекомендаций" /3/ принимают те же расчетные значения теплофизических характеристик материалов слоев и грунтов дорожной конструкции, что и при основном теплотехническом расчете конструкции:

а) для асфальтобетона:

коэффициент теплопроводности $\lambda_{1,2,3} = 1,04 \text{ Вт}/(\text{м}\cdot\text{К})$;
удельная теплопроводность $C_{1,2,3} = 1,68 \cdot 10^3 \text{ Дж}/(\text{кг}\cdot\text{К})$; плотность $\gamma_{1,2} = 2350 \text{ кг}/\text{м}^3$, $\gamma_3 = 2300 \text{ кг}/\text{м}^3$;

б) для известнякового щебня:

$$\lambda_4 = 1,39 \text{ Вт}/(\text{м} \cdot \text{К}); C_4 = 0,92 \cdot 10^3 \text{ Дж}/(\text{кг} \cdot \text{К}); \gamma'_4 = 1600 \text{ кг}/\text{м}^3;$$

в) для песка средней крупности:

$$\lambda_5 = 2,44 \text{ Вт}/(\text{м} \cdot \text{К}); C_5 = 0,92 \cdot 10^3 \text{ Дж}/(\text{кг} \cdot \text{К}); \gamma'_5 = 1950 \text{ кг}/\text{м}^3;$$

г) для полистирола ПС-4:

$$\lambda_6 = 0,052 \text{ Вт}/(\text{м} \cdot \text{К}); C_6 = 1,47 \cdot 10^3 \text{ Дж}/(\text{кг} \cdot \text{К}); \gamma'_6 = 60 \text{ кг}/\text{м}^3;$$

д) для супеси тяжелой пылеватой:

$$\lambda_7 = 2,03 \text{ Вт}/(\text{м} \cdot \text{К}); C_7 = 1,01 \cdot 10^3 \text{ Дж}/(\text{кг} \cdot \text{К}); \gamma'_7 = 2100 \text{ кг}/\text{м}^3.$$

Слой, эквивалентный по теплофизическим свойствам слоям, лежащим над теплоизоляцией (см. пример 1), имеет следующие значения параметров:

$$\lambda_{13} = 1,31 \text{ Вт}/(\text{м} \cdot \text{К}); C_{13} = 1,26 \cdot 10^3 \text{ Дж}/(\text{м} \cdot \text{К}); \gamma'_{13} = 1990 \text{ кг}/\text{м}^3.$$

Расчетные значения коэффициентов теплоусвоения S_i для материалов трехслойной модели равны $S_1 = 1812$, $S_2 = 67,7$, $S_3 = 2075$.

2. Устанавливают закономерность изменения температуры поверхности покрытия.

По приложению 6 "Методических рекомендаций" /1/ принимают следующие значения среднегодовой температуры воздуха $t_{\text{в,м}}$, амплитуды годовых колебаний температуры $A_{\text{в,м}}$ и их среднеквадратичных отклонений $t_{\text{в,м}} = 4,8^\circ\text{C}$; $b_t = 0,95^\circ\text{C}$; $A_{\text{в,м}} = 13,85^\circ\text{C}$; $b_A = 1,3^\circ\text{C}$.

Среднегодовая температура и амплитуда годовых колебаний температуры воздуха в расчетном году с надежностью 0,95 (капитальный тип покрытия), найденные по формулам, приведенным в примере 1: $t_{\text{в,ср}} = 3,3^\circ\text{C}$; $A_{\text{в}} = 16^\circ\text{C}$.

Среднемесячные температуры воздуха самого холодного и самого теплого месяцев соответственно $t_{\text{в,min}} = -12,7^\circ\text{C}$ и $t_{\text{в,max}} = 19,3^\circ\text{C}$.

Далее находят температуры асфальтобетонного покрытия в самом теплом месяце (см. пример 1)

$$t_{\text{п,мн}} = K_1 \frac{4(\bar{\pi} - 1)}{3\bar{\pi}} \cdot t_{\text{в,min}} = 1,33 \frac{4(3,14 - 1)}{3 \cdot 3,14} (-12,7) = -15,3^\circ\text{C};$$

$$t_{n,\max} = K_2 \frac{4(\pi+1)}{3\pi} t_{g\max} = 1,125 \cdot \frac{4(3,14+1)}{3 \cdot 3,14} \cdot 19,3 = 38,2^{\circ}\text{C}.$$

Среднегодовая температура поверхности покрытия в расчетном году и амплитуда годовых колебаний температуры соответственно $t_{n,sp} = 11,5^{\circ}\text{C}$, $A_n = 26,7^{\circ}\text{C}$.

3. Определяют толщину теплоизолирующего слоя в месте примыкания к мосту h_m .

Чтобы грунт земляного полотна не промерзal, амплитуда колебания температуры на его поверхности должна составлять $A(h+\delta) = t_{n,sp} + t_{3am} = 11,5 + 0,3 = 11,8^{\circ}\text{C}$, а

$$\text{соотношение амплитуд } \frac{A(h+\delta)}{A_n} = \frac{11,8}{26,7} = 0,44.$$

Располагая этими соотношениями амплитуд и коэффициентов теплоусвоения $S_1/S_2 = 26,8$ и $S_1/S_3 = 0,875$, а также значениями коэффициентов температуропроводности $a_{1,3} = 0,53 \cdot 10^{-6} \text{ м}^2/\text{с}$, $a_2 = 0,58 \cdot 10^{-6} \text{ м}^2/\text{с}$ находят по nomogramme приложения 6 "Методических рекомендаций" /1/ толщину теплоизолирующего слоя.

При $\frac{S_1}{S_3} = 0,9$, $\frac{A(h+\delta)}{A_n} = 0,44$ и $\frac{S_1}{S_2} = 26,8, h \sqrt{\frac{\omega}{2a_1}} = 0,19$ получают $\delta \sqrt{\frac{\omega}{2a_2}} = 0,0235$, а при $\frac{S_1}{S_3} = 0,8$ и тех же остальных параметрах получают $\delta \sqrt{\frac{\omega}{2a_2}} = 0,0215$. Тогда при

$\frac{S_1}{S_2} = 0,875$ $\delta \sqrt{\frac{\omega}{2a_2}} = 0,023$, а $\delta = 0,023 \sqrt{\frac{0,58 \cdot 10^{-6}}{2 \cdot 10^{-7}}} = 0,06 \text{ м} = 6 \text{ см}$. Длину переходной теплоизолирующей клиновидной конструкции находят по формуле (1) настоящих "Методических рекомендаций"

$$L = \frac{10 \cdot \ell_{gap}}{\ell_{gap}} = \frac{10 \cdot 4}{2} = 20 \text{ м.}$$

Пример 3. Требуется запроектировать клиновидную конструкцию сопряжения двух участков автомобиль-

ной дороги из морозозащитного материала - песка средней крупности.

Сопрягаемые участки дороги II категории находятся во II дорожно-климатической зоне, 3-й тип местности по условиям увлажнения, расчетная глубина залегания грунтовых вод $H = 200$ см от поверхности покрытия, расчетная глубина промерзания дорожной конструкции $Z = 180$ см.

Земляное полотно на участке А возведено из легко-го суглинка (пучинистый грунт), на участке Б - из мелкого песка (слабопучинистый грунт).

Для обеспечения требуемой прочности на участках А и Б запроектированы различные конструкции дорожной одежды, но из одинаковых материалов: покрытие из горячего асфальтобетона, укладываемого в два слоя общей толщиной 10 см, основание - из щебня толщиной 25 см на участке А и 20 см на участке Б. На участке А под щебеночным основанием предусмотрен слой песка средней крупности толщиной 40 см.

Проверка морозоустойчивости дорожных конструкций по ВСН 46-72 показала, что ожидаемое пучение в расчетном году на участке А ℓ_A не превысит 4,2 см, $\ell_{\text{спок}} = 4$ см, а на участке Б ℓ_B составит 2,8 см.

Клиновидную конструкцию сопряжения из морозозащитного материала располагают на участке А.

Расчет этой конструкции сводится к определению по ВСН 46-72 толщины морозозащитного слоя h_{AB} в месте контакта участков, обеспечивающей здесь величину пучения, равную $\ell_{AB} = 2,8$ см, а также к назначению длины переходного участка L .

Может быть принят следующий порядок расчета толщины морозозащитного слоя h_{AB} из песка средней крупности.

1. По ВСН 46-72 принимают климатический показатель $\alpha_0 = 100 \text{ см}^2/\text{сут}$, а комплексную характеристику пучинистых свойств легкого суглинка $B = 3,5 \text{ см}^2/\text{сут}$.

$$2. \text{ Находят, что комплекс } \frac{\ell_{AB} \cdot \alpha_0}{Bz} = \frac{2,8 \cdot 100}{3,5 \cdot 180} = 0,45,$$

а отношение $\frac{z}{H} = \frac{180}{200} = 0,9$.

3. По номограмме рис.24 ВСН 46-72 при $\frac{\ell_{AB} \cdot \alpha_0}{Bz} = 0,45$ и $\frac{z}{H} = 0,9$ находят, что $\frac{z_1}{z} = 0,56$, откуда $\frac{z_1}{z} \cdot z_1 = 0,56 \cdot 180 = 101$ см.

4. По формуле (20) ВСН 46-72 определяют толщину слоя песка средней крупности в месте примыкания к участку Б:

$$h_{A,B} = \frac{z_1 - h_a \varepsilon_a - h_w \varepsilon_w}{\varepsilon_n} = \frac{101 - 10 \cdot 1,15 - 25 \cdot 1,00}{0,9} = 72 \text{ см},$$

где h_a и h_w – толщины асфальтобетонного покрытия и щебеночного основания;

$\varepsilon_a, \varepsilon_w, \varepsilon_n$ – эквиваленты теплотехнических свойств асфальтобетона, щебня и песка,

Длину переходного участка с клиновидной конструкцией сопряжения определяют по формуле (1) настоящих "Методических рекомендаций"

$$L = 10 \frac{\ell_{gon}}{i_{gon}} = 10 \frac{\ell_{пчA} - \ell_{пчB}}{1,5} = 10 \frac{4,2 - 2,8}{1,5} = 10 \text{ м}.$$

Значение $i_{гон} = 1,5\%$ принято по таблице настоящих "Методических рекомендаций".

ЛИТЕРАТУРА

1. Методические рекомендации по проектированию и устройству теплоизолирующих слоев на пучиноопасных участках автомобильных дорог. Союздорнии. М., 1977.

2. Методические рекомендации по проектированию и устройству на автомобильных дорогах конструктивных теплоизолирующих слоев из цементогрунтов с пористыми заполнителями. Союздорнии. М., 1978.

3. Методические рекомендации по совершенствованию проектирования дорожных одежд нежесткого типа. Союздорнии. М., 1978.